

### III-5 山地流域における流れの水理機構について

京都大学工学部 正員 高樟琢馬

山地流域における流出現象を普遍的な立場から取り扱うためには、まず流れの水理的な機構を明らかにする必要がある。山地流域には一般に、樹草の腐敗過程にある透水性の比較的大きな厚さ数cm程度の表層が存在するが、この表層内の流れと表層表面を流れの表層流とはかなり密接な関係をもつていると考えられる。斜面上の水深の浅い流れについては、Horton, IzzardあるいはPalmerなどの実験的研究があるが、その機構については関心がはらわれておらず、またその研究結果も統一されていない。本研究は、上述の機構が山地流出現象において基本的な役割を演ずると考えて、実験的な検討を行ったものである。

1. 実験の装置と方法；実験には京大防災研究所内の降雨施設を用いたが、本施設の一般図は図-1のようであって、スプリンクラーから人工的に雨を降らせるようになっている。その下に幅1m、長さ6m、勾配1:3.5の斜面を土づくり、その上をガラスウールで1cm程度の厚さで覆って実山地斜面の状態に模擬させた。中间流出成分をも含む表面流出量の測定は斜面下流端で行い、三角堰を設けてある計量槽を用いた。このために計量槽側壁下部に突出させてあるマノメーター内の水位変化をカメラで読んで、三角堰からの流量に換算するという方法をとった。実験は降雨の強度と継続時間種々に変化させて行ったが、降雨の強度は各実験中一定とした。斜面上の流れの要素は本実験の特殊性のため測定できなかったので、実験の結果の解析にあたっては、予め仮説をたてておいて、実験資料によってその妥当性を検証していくという方法とした。

2. 実験結果の解析；解析にあたってよくに留意したのは、表面流の抵抗則および表層内の流れと表面流との関連にもとづく中间流の発生機構と表面流発生域の変化過程である。まず表面流の基礎的な関係として、雨のもつ運動量の効果および慣性項を無視すると、

$$X = \left( \frac{1}{PK} \right) \int_0^t [(r + r_h)(t - \tau)] / K [ \gamma_p + g_{0c} ]^{1-p} d\tau + \xi \quad (1)$$

の上で

$$g = [(r + r_h)(t - \tau)] / K [ \gamma_p + g_{0c} ], \text{ あるいは } g = (r + r_h)(X - \xi) + g_{0c} \quad (2)$$

が成立する。ここに、 $X$ は斜面上流端からの距離、 $t$ は時刻、 $\gamma$ は単位巾当たりの流量、 $r$ は降雨強度、 $r_h$ は単位面積、単位時間当たりの中间流出量、 $\xi$ 、 $\gamma$ は特性曲線の出発する場所的、時間的位置で、 $g_{0c}$ 、 $g_{0c}$ はその位置との境界および初期流量である。 $P$ 、 $K$ は抵抗則によつてきまる値で、流れが Manning の抵抗則に従ふとすると、

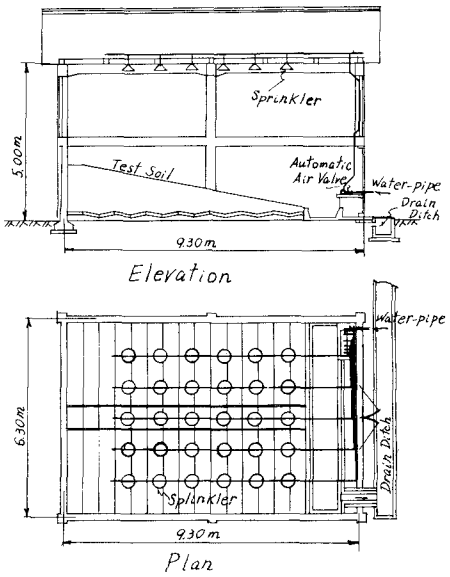


図-1 実験装置

$$K = (n/\sqrt{\sin \theta})^{1/p}, \quad p = 3/5 \quad (3)$$

と表わされる。ここに、 $n$ はManningの粗度係数、 $\sin \theta$ は斜面勾配である。表面流の発生域が変化する場合には、さらに $\theta$ を決める関係が必要である。そこで斜面上流端から表面流発生までの距離を $X_s$ とすれば、表面への雨水の供給と散逸の條件から、降雨中には

$$X_s = (1/a_1)(b + c/a_1 - Ct + a_1 C' e^{-a_1 t}) \quad (4)$$

となって、表面流発生域は増加していくが、次式で与えられる $X_s$ に至って変化しなくなる。

$$X_s = b/a_1 \quad (5)$$

また降雨後には

$$X_s = (1/a_2)[b + (L-b)]e^{-a_2(t-T)} \quad (6)$$

となって、表面流発生域は指数関数的に減少していく。ここに、 $a_1 = (r+r_H)/\lambda H$ 、 $a_2 = 2k_H/\lambda H$ 、 $b = (r_H + q_s)/\lambda H$ 、 $c = (C/tan\theta) - kr \sin\theta/H$ で、 $L$ は斜面長、 $q_s$ は表層からの流量、 $\lambda H$ は表層の隙率と表層厚の積、 $\tan\theta$ は表層内水深の変化率、 $k$ は浸透係数、 $T$ は表面流消失時刻、 $C'$ は積分常数である。以上の関係を特性面上で説明したものが図-2で、表面流はハツケで囲まれた部分にだけ発生していることになり、すなはち表面流への流入は降雨中には $(r+r_H)$ であるが、降雨後にも時刻 $T$ までは $r_H$ の流入があると考えなければならない。(1)式から(6)式までの関係と実験資料から算出した例と(8-8s)との関係の一例を図-3に示すが、これは表面流に対してはManningの抵抗則がかなりの確かさで成立することを意味しており、Palmerの実験結果とほぼ一致する。解析結果から推定される値を用いて流量曲線を算出した例が図-4であるが、理論値は実験値ときわめてよく一致している。中間流出には主として $\lambda H$ によって支配され、本実験では $30 \sim 50 \text{ mm/hr}$ 程度と推定されるが、山地流域でもほんの程度と考えられるから、中間流出成分がかなり大きいとみなければならぬ。

本研究では、山地流域のように上述のような表層をもつ流域では、表面流発生域の変化過程と中間流出を考慮しなければならず、また表面流はManningの抵抗則に従うと考えてよろしを明らかにしたが、このことは従来の流出解析法の基礎となる降雨分離あるいは単位図法の適用問題に対する重要な示唆を与えるものである。

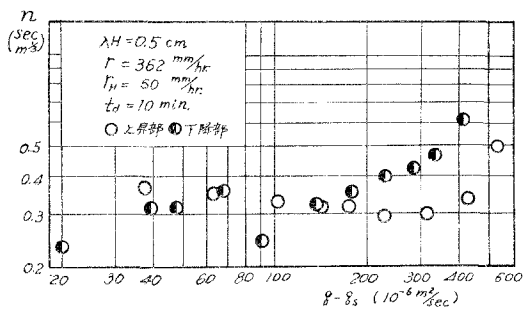


図-3 8-8s～n関係

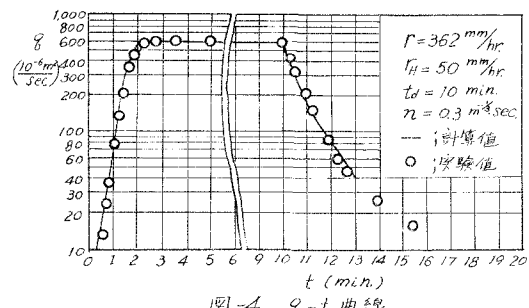


図-4 8-t曲線

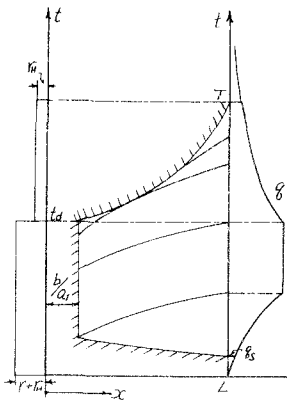


図-2 特性面上における流れの様子  
の説明図